

神戸大学 正 北村泰寿 学 ○森 誠一郎

1. まえがき 道路の不整正通過する自動車の接地荷重の変動によりて、沿道地盤に振動が発生すと考えられること。そこで、本研究は、路面の凹凸特性、自動車の振動特性、地盤の振動伝達特性をモデル化し分離し、走行車両による沿道の地盤振動をシミュレーションして結果について述べようとする。なお、前報¹⁾では自動車の後輪左輪モードルを置き換えてシミュレーションを行なつたが、今回は左右両輪が通過する路面の凹凸特性の相関についても考慮した。

2. 算出手法の概要 前報では、位相に関する情報が不要となるためパワースペクトル密度式の整理を行なつたが、今回も位相に関する情報が必要となるためフーリエスペクトルで式を整理を行なつていい。したがって、考え方の流れは前報と同じ内容となつていいため、内容について重複する部分は省略して述べる。

両輪が通過する路面凹凸の相関については、左車輪と右車輪の間の相関を考慮して路面凹凸のシミュレーション手法²⁾ Dodge等によつて提案された。これを結果の4回と記すと次がわかる。

$$X_L(\omega) = \sqrt{T/2} [S(\omega)]^{1/2} e^{-i\alpha_1(\omega)} \quad (1)$$

$$X_R(\omega) = \sqrt{T/2} \{ [\delta(\omega)^2 \cdot S(\omega)]^{1/2} e^{-i\alpha_1(\omega)} + [(1-\rho(\omega)^2) \cdot S(\omega)]^{1/2} e^{-i\alpha_2(\omega)} \} \quad (2)$$

ここで、 $X(\omega)$ ：路面凹凸のフーリエスペクトルで、添字L, Rは左車輪と右車輪の意味、 $S(\omega)$ ：路面凹凸のパワースペクトル密度、 $\rho(\omega)$ ：両輪が通過する路面凹凸特性の相関を表すコヒーレンス関数、T：時系列として発生させた時間、 $\alpha_1(\omega)$, $\alpha_2(\omega)$ ： $-\pi$ から π の範囲で一様分布するランダム変数

つぎに、自動車の振動モデルで鉛直振動のみを分離して自動車の質点系モデルに置き換えると、接地荷重のフーリエスペクトルは次式の形となる。すなはち、自動車の振動としては、ローリング振動成分も考えなければならぬが、自動車に関する諸元の入手が困難であることを考へて、左右両輪は独立して振動系として取り扱う。

$$Q(\omega) = H_p(\omega) \cdot X(\omega) = |H_p(\omega)| \cdot e^{-i\varphi_p(\omega)} \cdot X(\omega) \quad (3)$$

ここで、 $Q(\omega)$ ：接地荷重のフーリエスペクトル、 $H_p(\omega)$ ：自動車の振動モデルから得られる接地荷重の周波数応答関数、 $X(\omega)$ ：路面凹凸のフーリエスペクトル

式(3)の $X(\omega)$ の代りに式(1), (2)の $X_L(\omega)$, $X_R(\omega)$ を入れると、左右両輪の接地荷重のフーリエスペクトルが求まる。つづく、前報と同様に、車体の振動の伝播速度に比べて十分小さいので、自動車を固定した位置で走行中の不規則年振動は地盤に及ぼしていいと考へる。この場合、地盤振動の周波数応答関数を理論算定して用いて求められる。したがって、地盤の振動度のフーリエスペクトルは次式の形で得られる。

$$V(\omega) = H_{dv}(\omega) \cdot Q(\omega) = |H_{dv}(\omega)| \cdot e^{-i\varphi_{dv}(\omega)} \cdot Q(\omega) \quad (4)$$

ここで、 $V(\omega)$ ：地盤振動度のフーリエスペクトル、 $H_{dv}(\omega)$ ：地盤振動度の周波数応答関数

結局、式(4)と式(1)～(3)を入すと、左右両輪から伝わる沿道の任意地点における振動度のフーリエスペクトルが得られることになる。そして、式(4)のフーリエスペクトルによって、FFTを利用して走行速度を、左右両輪から発生する地盤振動度の時系列を求めめる。さらに、左右両輪から発生する地盤振動の時系列を合成して、合成した時系列の最大値を求めると、この値が所定の地盤振動度の値となる。

3. 計算結果と考察 路面凹凸のパワースペクトル密度、自動車の諸元、地盤振動度の周波数応答関数について、前報に用いたと考へてある。したがって、ここでは路面の割合もあり、再度図示することは省略し、講義時に述べることとする。すなはち、計算条件は簡単で簡単に説明すると次のようである。

路面：ISOの想定案を用いたとき、コヒーレンス関数についてはDodge等の近似化したものを使用する。また、路面周波数は $f = 2 \text{ Hz}$ (車速 50 km/h で $f = 27.8 \text{ Hz}$) の範囲と仮定する。

自動車：8トントラックと乗用車の2車種を考へ、トラックについては積載の有無を考慮する。

地盤：地盤の物理定数については、ヤング率 2500 kN/cm^2 、ボアソン比 $1/3$ 、単位体積重量 2.2 t/m^3 などをとし、アスファルト舗装と通常の地盤の中間値を想定して一例のみとする。

まず、積荷が無いトラックが 50 km/h で走行する場合と、路面凹凸の程度が「普通」と「悪」の間および両輪の路面凹凸の相関を考慮した場合の地盤振動速度の距離減衰を図-1に示す。同じ路面凹凸のパワースペクトル密度をもつ道路を走行させた場合でも、このようにパラメータを変えることは想定通りである程度の幅を狭めなければならないこととなる。また、同図によれば、島山等が大阪市内の沿道で測定した10箇所のデータに基づく提案している実験値²⁾を示す。なお、島山等の提案する式は次のようなものである。

$$v = C V_R^{-5/2} \rho^{3/2} \sqrt{1/r} \quad (5)$$

ここで、 v ：地盤振動速度 (mm/s)、 V_R ：L-L波の伝播速度 (m/s)、 ρ ：地盤に惹き起される円振動数 (rad/s)、 r ：道路から測定点までの距離 (m)

式(5)の C 、 ρ について、島山等は $C = 860 \sim 900$ 、 $T = 0.05 \sim 0.09 \text{ sec}$ ($\rho = 2\pi/T$) 程度であると述べている。実測の路面状態が不明のため直接の比較はできないが、本研究のシミュレーションにはほぼ満足のいくものであると考えられる。

次に、地盤振動に対する地盤の物理定数以外の影響因子として、積荷の有無、路面凹凸の程度、車速、車種を取り上げて比較したものを図-2である。同図の

Case 1 は図-1と同じで、ここでの比較の基準となる。まず、Case 2 は両輪が通過する路面凹凸の相関を無視した場合であるが、Case 1 とは較めて、この相間への影響は少ない。Case 3 は空荷車に対する結果であるが、Case 1 と比較して積載重量の影響は地盤振動にはほとんど現れない。Case 4 は路面の凹凸の程度が「極良」と「良」の間に採用した場合の結果であるが、路面状態が良くなければ地盤振動は大幅に小さくなる。Case 5, 6 は車速の影響を見たもので、車速の制限は路面凹凸の改良ほど顕著ではなくしても、地盤振動の軽減効果があることを示している。Case 7 は乗用車に対する計算を行なったもので、トラックによくて発生する地盤振動より相当小さくなることがわかる。

4. あとづき 本研究の手法はまだ十分検討すべき点もあるが、走行車両による沿道の振動を予測するための有効な方法の一例であると筆者等は考えており、今後は実測も含め本手法の有効性を確かめたい。

参考文献： 1) 北林、宮北、森：土木学会第31回年譲、III-160, 2) Styles, D.D. & Dodds, C.J. : Experimental Mechanics, 1976.11, 3) 島山、早川：土木学会関西支部講習会テキスト, 1976.9

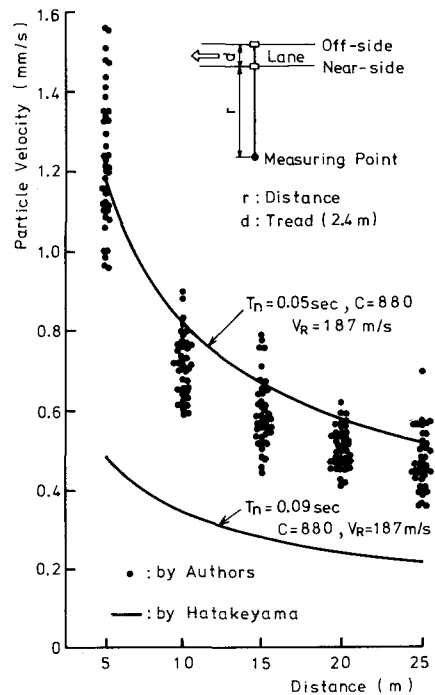


図-1 地盤振動速度の距離減衰

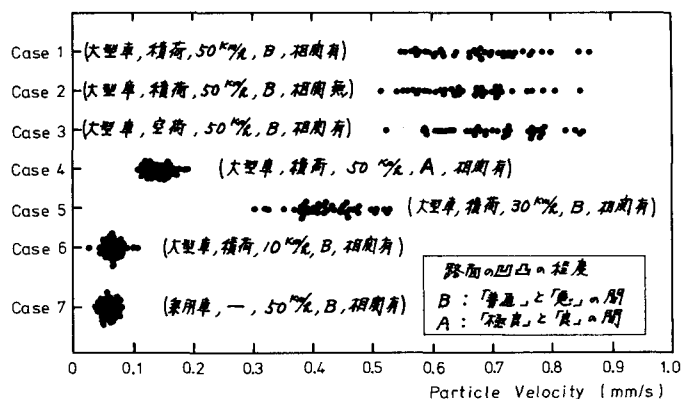


図-2 10m地点における地盤振動速度の比較